

## 细胞动力学研究 \*

### VIII. $\text{Na}_2\text{SeO}_3$ 对黑根菌作用特征

颜承农 \*\* 刘义 屈松生 陈春英 徐辉碧

(武汉大学化学系, 武汉 430072) (华中理工大学化学系, 武汉 430074)

关键词: 微量热法, 硒, 黑根菌, 热力学

硒是生命必须的微量元素之一, 它在生物体内作用的广泛性越来越被人们所重视<sup>[1]</sup>, 目前, 已研究了硒对细胞膜的作用<sup>[2]</sup> 及硒酶和泛醌等有机大分子的领域, 而用微量热法研究硒的生物效应, 尚未见报导。

许多研究表明, 硒浓度过小会引起动物许多组织器官损伤<sup>[2]</sup>, 但硒浓度过大又将引起机体中毒, 硒浓度在  $0.1\mu\text{g}\cdot\text{g}^{-1}$  以下对人和温血动物有益, 在  $0.1\text{--}0.8\mu\text{g}\cdot\text{g}^{-1}$  时对红细胞膜的结构和功能是必须的<sup>[3]</sup>, 硒的抗病毒抗癌活性也相当明显, 因此, 研究硒的生物效应等具有重要意义。

我们采用微量热法测定了  $\text{Na}_2\text{SeO}_3$  对黑根菌作用的产热曲线, 根据产热曲线求算了黑根菌生长的速率常数, 得到了速率常数随  $\text{Na}_2\text{SeO}_3$  浓度变化的关系, 对于了解硒对细胞作用的热动力学特征等具有一定意义。

## 1 材料与方法

### 1.1 仪器

实验采用瑞典产 LKB-2277 生物活性检测系统, 该仪器热稳定性好, 温度可稳定在  $\pm 1 \times 10^{-4}$  °C, 恒温工作范围在 20 ~ 80 °C, 热功率最小检测极限为  $0.12\mu\text{W}$ , 24 小时内基线漂移为  $0.2\mu\text{W}$ , 有关仪器结构、原理及操作详见文献<sup>[4,5]</sup>, 实验时系统控温于 25 °C。

### 1.2 材料

黑根菌 (CCTCC AF93157), 由武汉大学典型培养物保藏中心提供。

培养基为马铃薯、葡萄糖培养基 (PDA medium). 取去皮马铃薯 200g, 切成小块, 加水 1000mL 煮沸 30min, 滤去马铃薯块, 将滤液补充至 1000mL, 加葡萄糖 20g, 溶化后分装, 120 °C 灭菌 30min. 冰箱中放置备用。

$\text{Na}_2\text{SeO}_3$  为分析纯, 配制溶液用二次无菌蒸馏水。

### 1.3 方法

本实验采用停流法检测。测定前分别用  $0.1\text{mol}\cdot\text{L}^{-1}\text{NaOH}$ ,  $0.1\text{mol}\cdot\text{L}^{-1}\text{HCl}$ , 75% (V/V) 乙醇溶液和无菌水清洗管道和流通池, 待仪器基线稳定后, 用蠕动泵 (LKB 2132 microperpex peristaltic

1996-09-16 收到初稿, 1996-11-08 收到修改稿. 联系人: 屈松生. \* 国家自然科学基金和高等学校博士点专项基金资助项目. \*\* 现在荆州市专科学校工作.

pump) 以  $50\text{mL}\cdot\text{h}^{-1}$  的流速将菌液和  $\text{Na}_2\text{SeO}_3$  混合液泵入微量热计中, 当样品充满流通池(约  $0.6\text{mL}$ ) 后停泵, 记录仪自动跟踪记录流动池内菌生长的产热曲线( $P-t$  曲线), 当记录笔回基线后, 实验结束.

$\text{Na}_2\text{SeO}_3$  按实验要求配制成溶液后, 加入到接种了菌的溶液中, 菌接种量为  $2\times 10^6\text{cells}/\text{mL}$ .

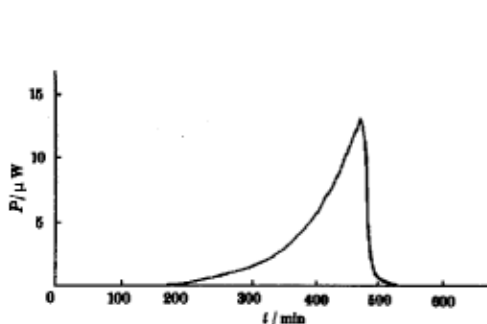


图 1  $25\text{ }^\circ\text{C}$  时黑根菌生长产热曲线

Fig.1 Thermogenic curve of *Rhizopus nigrocans* growth at  $25\text{ }^\circ\text{C}$

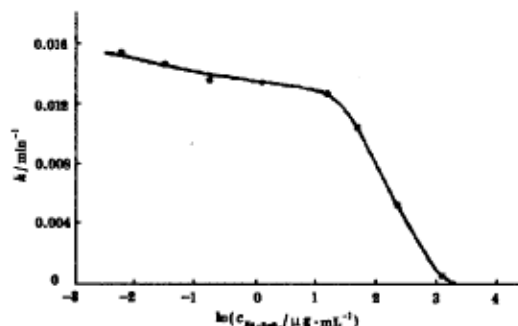


图 2 生长速率常数与浓度关系

Fig.2 The relationship between growth rate constants and concentration of  $\text{Na}_2\text{SeO}_3$

## 2 结果与讨论

### 2.1 黑根菌生长产热曲线

在  $298\text{K}$ 、停流法测定了黑根菌生长产热曲线(如图 1 所示). 同时测定了其在  $\text{Na}_2\text{SeO}_3$  作用下的生长产热曲线, 在相同的实验条件下, 其结果有非常好的重现性.

### 2.2 黑根菌生长速率常数

在细胞的对数生长期中, 有<sup>[4]</sup>:

$$P_t = P_0 \exp(kt)$$

或

$$\ln P_t = \ln P_0 + kt \quad (1)$$

将产热曲线上指数生长期的  $P_t$ 、 $t$  值代入(1)式中, 用计算机进行线性拟合得到了黑根菌生长速率常数  $k$ (见表 1). 在不同浓度  $\text{Na}_2\text{SeO}_3$  作用下的生长速率常数  $k$ (见表 2).

表 1 黑根菌生长速率常数

Table 1 Rate constants of *Rhizopus nigrocans* growth

Exp.	1	2	3	4	5	6
$k/\text{min}^{-1}$	0.01395	0.01340	0.01349	0.01500	0.01321	0.01207
$R$	0.99713	0.99786	0.99656	0.99721	0.99558	0.99868

由表 1 可得  $\bar{k}=0.01352\pm 0.00087\text{min}^{-1}$ , 可见其结果有非常好的重现性. 同时由  $t_G=(\ln 2)/k$  可得到不同条件下的细胞传代时间. 黑根菌在不同浓度  $\text{Na}_2\text{SeO}_3$  作用下的生长速率常数  $k$ 、传代时间  $t_G$  和生长期的最大发热功率  $P_{\max}$  如表 2 所示.

表 2 黑根菌在不同浓度  $\text{Na}_2\text{SeO}_3$  作用下的生长速率常数  $k$  和传代时间Table 2 Rate constants, generation time and  $P_{\max}$  of Rhizopus nigrocans growth under the action of different concentration of  $\text{Na}_2\text{SeO}_3$ 

$c/\mu\text{g}\cdot\text{mL}^{-1}$	0	0.1	0.2	0.4	1.0	3.0	5.0	10.0	20.0
$k/\text{min}^{-1}$	0.01352	0.01564	0.01480	0.01401	0.01378	0.01303	0.01064	0.00531	0.00105
$t_G/\text{min}$	51.3	44.3	46.8	49.5	50.3	53.2	65.1	130.5	660.1
$P_{\max}/\mu\text{W}$	11.5	12.5	11.5	11.2	11.0	10.8	8.5	6.0	2.5

### 2.3 $P_{\max}$ 与生长速率常数 $k$ 的关系

由表 2 可见, 随着细胞生长速率的下降, 细胞的传代时间  $t_G$  增长, 生长期的最大发热功率  $P_{\max}$  减小. 以  $P_{\max}$  对  $k$  进行线性拟合, 则得  $P_{\max}$  与  $k$  的关系式为

$$P_{\max} = 1.98 + 663.26k \quad R = 0.9938 \quad (2)$$

由(2)式可见,  $P_{\max}$  与  $k$  具有较好的线性关系.

### 2.4 $k$ 与 $c$ 之间的关系

以  $k$  对  $\ln c_{\text{Na}_2\text{SeO}_3}$  作图(如图 2 所示), 由图 2 可见,  $k$  与  $c$  之间的关系符合对数正态分布特征, 根据文献<sup>[6]</sup>, 我们可以得到:

$$k = B_1 \cdot \exp[-B_2(c + B_3)^2] \quad (3)$$

其中  $B_1$ 、 $B_2$ 、 $B_3$  为常数,  $c$  为  $\text{Na}_2\text{SeO}_3$  浓度.

对(3)式取对数得:

$$\ln k = \ln B_1 - B_2(c + B_3)^2 \quad (4)$$

(4)式为一线性化方程式. 将表 2 中的  $k$  和  $c$  代入(3)式中, 用计算机进行循环计算和拟合, 从而求得  $\ln B_1 = -3.322$ ,  $B_2 = 0.003608$ ,  $B_3 = 8.60$ , 相关系数  $R = 0.9986$ . 则  $k \sim c$  关系式为

$$\ln k = -3.322 - 0.003608(c + 8.60)^2 \quad (5)$$

$\ln k$  对  $(c + B_3)^2$  作图, 为一条相关性较好的直线.

### 2.5 硒作用探讨

实验结果表明,  $\text{Na}_2\text{SeO}_3$  在低浓度时对黑根菌的生长代谢有促进作用, 高浓度时有抑制作用, 与文献<sup>[3,6]</sup>中报道的规律相符合. 这可能是因为在低浓度下, Se 主要用于维持细胞的完整性, 作用于微生物体内的必需酶, 并促进辅酶 Q 及细胞的 DNA 和 RNA 的生物合成, 这样硒就成为细胞正常生长并保持其活性的必需微量元素. 而在高浓度下, 则主要表现为毒性作用, 这可能是因而硒与生物大分子的巯基作用, 使巯基过度氧化形成  $-S-S-$  键, 致使蛋白质破坏而失去活性<sup>[7]</sup>, 从而抑制了细胞的正常分裂和增殖, 细胞的生长速率下降. 当硒浓度为  $1 \sim 5 \mu\text{g}\cdot\text{g}^{-1}$  时, 将导致红细胞溶血<sup>[3]</sup>. 这对揭示硒的生物效应以及毒理学等均有重要意义.

微量热法对研究药理学和毒理学等均可提供可靠的信息, 这将会成为药理学和毒理学中重要的研究工具.

## 参考文献

- 1 王远亮. 生物化学与生物物理进展, 1987, (6):28
- 2 沃维汉, 杨福愉. 中国科学 B辑, 1986, (4):401
- 3 杨 剑, 杨福愉. 生物化学杂志, 1990, 6(2): 141
- 4 Xie Changli, Tang Houkuan, Song Zhaohua, et al. *Thermochimica Acta*, 1988, 123:33
- 5 谢昌礼, 徐桂端, 屈松生. 物理化学学报, 1986, 2(4): 363
- 6 王 静, 陈出新, 陶 浏. 生态学报, 1992, 12(3): 201
- 7 Bhuyan K C, et al. in *Selenium in Biology and Medicine*. Spallholz J E, Martin J L, Ganther H E, eds., Westport: AVI Publishing Co., 1980. 403

## Studies on Cell Kinetics

### VII. Characteristics of the Action of Na<sub>2</sub>SeO<sub>3</sub> on Rhizopus Nigrocans

Yan Chennong Liu Yi Qu Songsheng

(Department of Chemistry, Wuhan University, Wuhan 430072)

Chen Chungying Xu Huibi

(Department of Chemistry, Huazhong University of Science and Technology, Wuhan 430074)

**Abstract** The Characteristics of the action of Na<sub>2</sub>SeO<sub>3</sub> on Rhizopus nigrocans has been studied by means of microcalorimetry, the relationship between growth rate constants and the concentration of Na<sub>2</sub>SeO<sub>3</sub> is

$$k = 0.03608 \exp[-0.003608(c + 8.60)^2]$$

It was found that Na<sub>2</sub>SeO<sub>3</sub> of low concentration has promoting action on the growth of Rhizopus nigrocans cells, and high concentration of Na<sub>2</sub>SeO<sub>3</sub> has inhibitory action. The study has provided a lot of information on the bioeffect of selenium and the research of toxicology.

**Keywords:** Microcalorimetric method, Selenium, Rhizopus nigrocans, Thermokinetics